

## ОСНОВЫ ТЕОРИИ РАССЕЯНИЯ ЭЛЕКТРОНОВ

## § 2.1. Инклюзивное сечение рассеяния электронов

Процесс рассеяния электрона в поле ядра или другой электромагнитной системы может быть описан с помощью  $S$ -матрицы [1,2 ]:

$$\widehat{S} = \widehat{T} \exp(-i \int_{-\infty}^{\infty} \widehat{H}_{\text{int}}(t) dt), \quad (2.1)$$

где  $\widehat{T}$  означает  $T$ -упорядоченное (по времени) произведение;  $\widehat{H}_{\text{int}}$  – гамильтониан взаимодействия с электромагнитным полем ядра:

$$\widehat{H}_{\text{int}}(t) = \int \widehat{H}_{\text{int}}(\vec{x}, t) d^3x, \quad (2.2)$$

$$\widehat{H}_{\text{int}}(\vec{x}, t) = -e \widehat{j}_{\mu}(\vec{x}, t) \widehat{A}_{\mu}(\vec{x}, t).$$

$\widehat{A}_{\mu}(\vec{x}, t)$  – оператор электромагнитного поля ядра,

$j_{\mu}(x) = i \overline{\Psi}(x) \gamma_{\mu} \Psi(x)$  – электронно-позитронный ток,

причем

$$\Psi(x) = \sum_{\lambda} \int d^4k \{ a_{k,\lambda} u_{\lambda}(k) e^{ikx} + b_{k,\lambda}^+ v_{\lambda}(-k) e^{-ikx} \} \quad (2.3)$$

где  $u, v$  – дираковские спиноры,  $u_{\lambda}^+(k) u_{\lambda}(k) = \delta_{\lambda\lambda}$ ,  $a_{k,\lambda}^+ (b_{k,\lambda}^+)$  – операторы рождения электрона (позитрона) с импульсом  $k$  и поляризацией  $\lambda$ . В дальнейшем мы будем пользоваться следующей системой обозначений:

$$px \equiv p_{\mu} x_{\mu}; x_{\mu} = \{\vec{x}, it\}; k_{\mu} = \{\vec{k}, i\varepsilon\}; \mu = 1, 2, 3, 4,$$

$k_1(k_2)$  – импульс падающего (рассеянного) электрона;  $(\varepsilon_1(\varepsilon_1))$  – энергия падающего (рассеянного) электрона,  $E_i, E_f$  – начальная и конечная энергии ядра.

$$q_\mu = \{\vec{q}, i\omega\}; \omega = \varepsilon_1 - \varepsilon_2; \vec{q} = \vec{k}_1 - \vec{k}_2, \quad (2.4)$$

$q$  – переданный ядру импульс;  $q_\mu^2 = q^2 - \omega^2$ . Для реального фотона  $q_\mu^2 = 0 \Rightarrow q^2 = \omega^2$ , для виртуального фотона

$$q_\mu^2 \geq 0. \quad (2.5)$$

Длины волн, соответствующие переданным импульсам, при росте  $q$  становятся много меньше размеров ядра. Эта особенность электронного рассеяния и определяет возможности этого метода в исследовании деталей ядерной структуры.

Рассеяние электрона на ядре (нуклоне) можно изобразить в виде диаграммы Фейнмана, причем матрица рассеяния может быть разложена в ряд по константе электромагнитного взаимодействия (См. рис.1.1).

Каждая вершина диаграммы электромагнитного взаимодействия вносит в соответствующий матричный элемент значение константы

$$\sqrt{\alpha_e} = \sqrt{e^2/4\pi\hbar c} \Rightarrow e/\sqrt{4\pi} (\hbar c = 1).$$

(Эта форма связи константы с величиной элементарного заряда соответствует системе единиц СИ. В этой системе первое из уравнений Максвелла (2.7) коэффициента  $4\pi$  не имеет.)

Расчет матричных элементов матрицы рассеяния этого процесса ограничивают, как правило, первым порядком разложения. Учет диаграмм более высокого порядка приводит лишь к небольшим поправкам к первому приближению. (Детали вывода формулы сечения рассеяния см. [1,2]).

Матричный элемент первого члена этого разложения:

$$\langle k_2, \lambda_2; f | S^{(1)} | k_1, \lambda_1; i \rangle = \bar{e} u_{\lambda_2}(k_2) \gamma_\mu u_{\lambda_1}(k_1) \times \\ \times \int d^4x \langle f | A_\mu(\vec{x}, t) | i \rangle \exp(-iqx). \quad (2.6)$$

При получении этой формулы как для падающего, так и для рассеянного электрона была использована зависимость от координат в форме (2.3), т.е. в виде плоских волн в пространстве. Если для падающего на ядро электрона это справедливо, то рассеянный электрон испытывает искажение своей волны. Таким образом, излагаемый вывод проводится в рамках т.н. PWBA – (Plain Wave Born Approximation) = борновского приближения с плоскими волнами. (Учет искажения волн делается приближенным образом в т.н. DWBA = Distorted Wave Born Approximation).

Оператор электромагнитного поля связан с оператором тока ядра уравнением Максвелла:

$$\square \hat{A}_\mu(\vec{x}, t) = -e \hat{J}_\mu(\vec{x}, t). \quad (2.7)$$

Перейдем к фурье-образам операторов поля и тока:

$$\hat{A}_\mu(x) = \frac{1}{(2\pi)^2} \int d^4q \hat{A}_\mu(q) \exp(iqx)$$

$$\hat{J}_\mu(x) = \frac{1}{(2\pi)^2} \int d^4q \hat{J}_\mu(q) \exp(iqx)$$

Тогда из (2.7) получим:

$$\hat{A}_\mu(q) = \frac{e}{q_\mu^2} \hat{J}_\mu(q) \quad (2.8)$$

Операторы в формулах (2.6-2.8) – операторы в гейзенберговском представлении. Переход к представлению Шредингера:

$$\hat{J}_\mu(\vec{x}, t) = \exp(i\hat{H}t) \hat{J}_\mu(\vec{x}) \exp(-i\hat{H}t), \quad (2.9)$$

где  $\widehat{H}$  – ядерный гамильтониан,  $\widehat{J}_\mu(x) = \{\widehat{J}(x), i\widehat{\rho}(x)\}$ .

Отсюда для матричных элементов операторов тока:  
 $\langle f | \widehat{J}_\mu(\vec{x}, t) | i \rangle = \langle f | \widehat{J}_\mu(\vec{x}) | i \rangle \exp[i(E_f - E_i)t].$  (2.10)

Подстановка этих выражений в уравнение (2.6) и интегрирование по времени приводит к следующему выражению для матричного элемента матрицы рассеяния:

$$\begin{aligned} \langle k_2, \lambda_2; f | S^{(1)} | k_1, \lambda_1; i \rangle &= -\frac{e^2}{q_\mu^2} u_{\lambda_2}(k_2) \gamma_\mu u_{\lambda_1}(k_1) \times \\ &\times \int d^4x \langle f | \widehat{J}_\mu(\vec{x}, t) | i \rangle \exp(-iqx) = \frac{e^2}{q_\mu^2} u_{\lambda_2}(k_2) \gamma_\mu u_{\lambda_1}(k_1) \times \\ &\times \int d^3\vec{x} dt \langle f | \widehat{J}_\mu(\vec{x}) | i \rangle \exp(-iq\vec{x}) \exp[i(E_f - E_i)t] \exp(i\omega t) = \\ &= \frac{e^2}{q_\mu^2} u_{\lambda_2}(k_2) \gamma_\mu u_{\lambda_1}(k_1) \langle f | \widehat{J}_\mu(\vec{q}) | i \rangle \int \exp[i(E_f - E_i + \omega)t] dt = \\ &= \frac{2\pi e^2}{q_\mu^2} u_{\lambda_2}(k_2) \gamma_\mu u_{\lambda_1}(k_1) \langle f | \widehat{J}_\mu(\vec{q}) | i \rangle \delta(E_f + \varepsilon_2 - E_i - \varepsilon_1) = \\ &= M_{if} \delta(E_f + \varepsilon_2 - E_i - \varepsilon_1). \end{aligned} \quad (2.11)$$

Квадрат матричного элемента  $|M_{if}|^2$  связан с вероятностью перехода в единицу времени:

$$\omega_{i \rightarrow f} = 2\pi |M_{if}|^2 \delta(E_f + \varepsilon_2 - E_i - \varepsilon_1). \quad (2.12)$$

По определению дифференциального сечения процесса

$$d\sigma = \frac{\omega_{i \rightarrow f}}{I} \frac{d^3k_2}{(2\pi)^3}, \quad (2.13)$$

где  $I$  -плотность потока падающих частиц,  $I = \frac{k_1}{\varepsilon_1}$ .

Проведя суммирование по поляризациям рассеянного электрона  $\lambda_2$  и усреднение по поляризациям падающего электрона  $\lambda_1$ , получим выражение для дифференциального сечения рассеяния неполяризованного электрона на ядре:

$$d\sigma = \frac{4\alpha^2}{q_\mu^2} \frac{1}{k_1} [2(J_\mu Q_\mu)(J_\nu^* Q_\nu) + \frac{1}{2} q_\mu^2 J_\mu J_\mu^*] \times \delta(E_f + \varepsilon_2 - E_i - \varepsilon_1) \frac{d^3 k_2}{2\varepsilon_2}.$$

Здесь

$$J_\mu^*(\vec{q}) = \{\bar{J}(\vec{q}), i\rho^*\}; J_\mu(\vec{q}) = \langle f | \hat{J}_\mu(\vec{q}) | i \rangle, \quad (2.14)$$

$$Q_\mu = \frac{1}{2}(k_2 + k_1)_\mu; \alpha = \frac{1}{137} = \frac{e^2}{4\pi}.$$

Начальное и конечное состояния ядра-мишени – состояния с определенными значениями проекций полного момента  $M_i, M_f$ . Усреднение (2.14) по начальным значениям проекции момента  $M_i$  и суммирование по конечным значениям  $M_f$  дает для дифференциального сечения следующее выражение:

$$d\sigma = \frac{4\alpha^2}{q_\mu^2} \frac{d^3 k_2}{2k_1 \varepsilon_2} \frac{1}{2J_i + 1} \sum_{M_i, M_f} [2(J_\mu Q_\mu)(J_\nu^* Q_\nu) + \frac{1}{2} q_\mu^2 J_\mu J_\mu^*] \times \delta(E_f + \varepsilon_2 - E_i - \varepsilon_1). \quad (2.15)$$

При выводе соотношений (2.15) использован закон сохранения заряда (уравнение непрерывности):

$$\frac{\partial J_\mu(\vec{x})}{\partial x_\mu} = 0 \Rightarrow q_\mu J_\mu(\vec{q}) = \vec{q}\vec{J} - \omega\rho = 0. \quad (2.16)$$

Таким образом, сечение рассеяния электронов на ядре является функцией матричных элементов операторов плотности ядерного тока  $\hat{J}(q)$  и ядерного заряда  $\hat{\rho}(q)$ .

С целью использования для квантовых переходов правил отбора по четности и моменту количества движения, в формуле (2.15) проводится **мультипольное разложение операторов плотности заряда и тока**.

Рассмотрим оператор плотности заряда ядра  $\hat{\rho}(x)$ . Матричный элемент Фурье-образа этого оператора:

$$\langle J_f M_f | \hat{\rho}(\vec{q}) | J_i M_i \rangle = \int e^{-i\vec{q}\vec{x}} \langle J_f M_f | \hat{\rho}(\vec{x}) | J_i M_i \rangle d^3x. \quad (2.17)$$

Используя разложение плоской волны по мультиполям:

$$e^{-i\vec{q}\vec{x}} = 4\pi \sum_{J,M} (-i)^J j_J(qx) Y_{JM}(\Omega_x) Y_{JM}^*(\Omega_q) \quad (2.18)$$

получим:

$$\begin{aligned} \langle J_f M_f | \hat{\rho}(\vec{q}) | J_i M_i \rangle &= \\ &= 4\pi \sum_{J,M} (-i)^J Y_{JM}^*(\Omega_q) \langle J_f M_f | \int j_J(qx) Y_{JM}(\Omega_x) \hat{\rho}(\vec{x}) d^3x | J_i M_i \rangle \end{aligned} \quad (2.19)$$

Здесь  $j_J(qx)$  – сферическая функция Бесселя,  $Y_{JM}(\Omega)$  – обобщенные сферические функции.

Определение:

$$\widehat{M}_{JM}^{coul}(q) = \int j_J(qx) Y_{JM}(\Omega_x) \hat{\rho}(\vec{x}) d^3x. \quad (2.20)$$

Оператор  $M_{JM}^{coul}(q)$  – неприводимый тензорный оператор ранга  $J$  в гильбертовом пространстве волновых функций состояний ядра. Матричный элемент оператора плотности заряда можно свести к приведенным матричным элементам оператора  $\widehat{M}_{JM}^{coul}(q)$  с помощью теоремы Вигнера-Экарта:

$$\begin{aligned} \langle J_f M_f | \widehat{\rho}(\vec{q}) | J_i M_i \rangle &= 4\pi \sum_{JM} (-i)^J Y_{JM}^*(\Omega_q) \frac{\langle J_f M_f | JM J_i M_i \rangle}{\sqrt{2J_f + 1}} \times \\ &\times \langle J_f | \widehat{M}_{JM}^{coul} | J_i \rangle \end{aligned} \quad (2.21)$$

Суммирование по  $M_f$  и усреднение по  $M_i$  (проекции спинов ядер) в формуле (2.21) дает возможность свести один из элементов формулы (2.15) к сумме по  $J$  матричных элементов оператора  $\widehat{M}_{JM}^{coul}(q)$ , т.е. произвести *разложение по мультиполям*:

$$\begin{aligned} &\frac{1}{2J_i + 1} \sum_{M_i M_f} |\langle J_f M_f | \widehat{\rho}(\vec{q}) | J_i M_i \rangle|^2 = \\ &= \frac{4\pi}{2J_i + 1} \sum_{J=0}^{\infty} |\langle J_f | \widehat{M}_{JM}^{coul} | J_i \rangle|^2 \end{aligned} \quad (2.22)$$

Проведение аналогичного анализа операторов пространственного тока представляет несколько большую сложность. При выводе используется разложение трехмерного вектора  $\widehat{J}(\vec{q})$  по сферической системе ортов (рис.2.1), связанной с вектором  $\vec{q}$ :

$$\widehat{J}(\vec{q}) = \sum_{\lambda=0,\pm 1} J_{\lambda}(\vec{q})(\vec{e}_{q_{\lambda}})^+ \quad (2.23)$$

$$\vec{e}_{q_{\pm 1}} = \mp \frac{1}{\sqrt{2}}(\vec{e}_x \pm i\vec{e}_y); \quad \vec{e}_{q_0} = \vec{e}_z = \frac{\vec{q}}{q}; \quad \vec{e}_{q_{\lambda}} \widehat{J}(\vec{q}) = J_{\lambda}(\vec{q}). \quad (2.24)$$

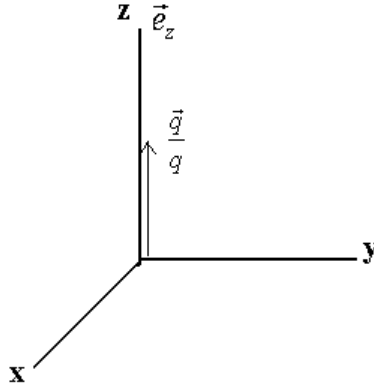


Рис.2.1.

Из уравнения непрерывности (2.16) следует, что **независимыми являются только поперечные компоненты** тока:

$$q_\mu J_\mu(\vec{q}) = \vec{q}\vec{J} - \omega\rho = \vec{e}_{q_0} q\vec{J}(\vec{q}) - \omega\rho = 0$$

$$\vec{e}_{q_0} \vec{J}(\vec{q}) = \frac{\omega\rho}{q}. \quad (2.25)$$

Определим неприводимые операторы ранга  $J$  в пространстве состояний ядра:

$$\hat{T}_{JM}^{el} = \frac{1}{q} \int [\vec{\nabla} \times j_J(qx) \vec{Y}_{JJ_1}^M(\Omega_x)] \hat{J}(\vec{x}) d^3x, \quad (2.26)$$

$$\hat{T}_{JM}^{mag} = \int j_J(qx) \vec{Y}_{JJ_1}^M(\Omega_x) \hat{J}(\vec{x}) d^3x. \quad (2.27)$$

Здесь  $\vec{Y}_{JJ_1}$  – векторная сферическая функция.

$$\vec{Y}_{JJ_1}^M = \sum_{m; m'=0\pm 1} (J_1 m \ 1 m' | J m) Y_{Jm} \vec{e}_m. \quad (2.28)$$



Сводя (с помощью разложения по мультиполям) матричные элементы операторов тока к суммам матричных элементов операторов (2.26), (2.27), получим:

$$\frac{1}{2J_i + 1} \sum_{M_i, M_f} J_\lambda(\vec{q}) J_{\lambda'}^*(\vec{q}) = \frac{2\pi\delta_{\lambda\lambda'}}{2J_i + 1} \times$$

$$\times \sum_{J=1}^{\infty} \{ |\langle J_f \parallel \widehat{T}_J^{el} \parallel J_i \rangle|^2 + |\langle J_f \parallel \widehat{T}_J^{mag} \parallel J_i \rangle|^2 \}. \quad (2.29)$$

Подстановка (2.29) и (2.22) в (2.15) позволяет выразить дифференциальное сечение рассеяния электрона на ядре через приведенные матричные элементы мультипольных операторов  $\widehat{M}_{JM}^{coul}$ ,  $\widehat{T}_{JM}^{el}$  и  $\widehat{T}_{JM}^{mag}$  и получить выражение для инклюзивного дифференциального сечения рассеяния электрона на ядре:

$$\frac{d\sigma}{d\Omega} = \frac{4\pi\sigma_M}{1 + \frac{2\varepsilon_1}{M_T} \sin^2 \frac{\theta}{2}} \left\{ \left( \frac{q_\mu^4}{q^4} \right) F_L^2(q, \omega) + \left( \frac{q_\mu^2}{2q^2} + tg^2 \frac{\theta}{2} \right) F_T^2(q, \omega) \right\},$$

$$(2.30)$$

где  $\sigma_M = \alpha \cos^2 \frac{\theta}{2} / 4\varepsilon_1^2 \sin^4 \frac{\theta}{2}$  – т.н. мотовское сечение;  $\theta$  – угол рассеяния,  $\eta_R = 1 + (2E_1 \sin^2 \theta / 2) / M_T$  – фактор отдачи;  $M_T$  – масса ядра-мишени,  $q_\mu^2 = q^2 - \omega^2$  – переданный ядру импульс,  $\omega$  – переданная ядру энергия.

Учитывая, что в  $(e, e')$ - реакциях, как правило,  $q \gg \omega$  и поэтому  $q_\mu^2 \approx q^2$ , формулу (2.30) можно записать в упрощенном виде:

$$\frac{d\sigma(e, e')}{d\Omega} = \frac{4\pi\sigma_M}{\eta_R} \left\{ F_L^2(q, \omega) + \left( \frac{1}{2} + \text{tg}^2 \frac{\theta}{2} \right) F_T^2(q, \omega) \right\} . \quad (2.31)$$

Зависимость сечения рассеяния от структуры ядра сосредоточена в величинах  $F_L(q, \omega)$  и  $F_T(q, \omega)$ , называемых обычно **продольным (кулоновским) и поперечным формфакторами (longitudinal and transverse form factors)**.

(В последнее время в литературе вместо этого термина часто используется термин «nuclear response surfaces» - поверхности ядерного отклика)

$$F_L^2(q) = \frac{1}{2J_i + 1} \sum_{J=0}^{\infty} |\langle J_f \parallel \widehat{M}_J^{coul} \parallel J_i \rangle|^2 , \quad (2.32)$$

$$F_T^2(q) = \frac{1}{2J_i + 1} \sum_{J=1}^{\infty} \{ |\langle J_f \parallel \widehat{T}_J^{el} \parallel J_i \rangle|^2 + |\langle J_f \parallel \widehat{T}_J^{mag} \parallel J_i \rangle|^2 \} \quad (2.33)$$

При выводе (2.30,2.31) было произведено суммирование либо усреднение по поляризациям как ядра-мишени, так и падающего электрона. Поэтому результат этого вывода – **инклюзивное сечение рассеяния** электрона в борновском приближении с плоскими волнами - PWBA.

Часто в научной литературе эта же формула выглядит несколько иначе:

$$\frac{d\sigma}{d\Omega} = \frac{Z^2\sigma_M}{\eta_R} \{ F_L^2(q, \omega) + \left( \frac{1}{2} + \text{tg}^2 \frac{\theta}{2} \right) F_T^2(q, \omega) \} \quad (2.34)$$

Различию этих формул соответствуют разные определения величин формфакторов:

1)  $F_L^2(q, \omega), F_T^2(q, \omega) \Rightarrow$  см. (2.30-2.31)

$$2) F_{L,T}^2(q, \omega) = \frac{4\pi}{Z^2} F_{L,T}^2(q, \omega) \text{ см. (2.34)} \quad (2.35)$$

### § 2.2. Свойства формфакторов

Как продольный, так и поперечный формфакторы являются суммами т.н. **мультипольных формфакторов**:

$$F_L^2(q, \omega) = \sum_{J=0} F_{CJ}^2; \quad (2.36)$$

$$F_T^2(q, \omega) = \sum_{J=1} (F_{EJ}^2 + F_{MJ}^2).$$

Здесь

$$F_{CJ}^2 = \frac{1}{2J_i + 1} \left| \langle J_f \parallel \widehat{M}_J^{coul} \parallel J_i \rangle \right|^2. \quad (2.37)$$

$$F_{EJ}^2 = \frac{1}{2J_i + 1} \left| \langle J_f \parallel \widehat{T}_J^{el} \parallel J_i \rangle \right|^2; \quad F_{MJ}^2 = \frac{1}{2J_i + 1} \left| \langle J_f \parallel \widehat{T}_J^{mag} \parallel J_i \rangle \right|^2. \quad (2.38)$$

Продольные, или «кулоновские» формфакторы  $F_{CJ}$  содержат информацию о рассеянии электрона на кулоновском поле ядра, созданном **ядерным электрическим зарядом**. Термин «продольный» отражает связь (2.25), т.е. тот факт, что в силу закона сохранения электрического заряда продольный компонент трехмерного ядерного тока равен (с точностью до множителей) заряду ядра. Мультипольные «электрические» и «магнитные» формфакторы  $F_{EJ}, F_{MJ}$  содержат информацию о взаимодействии налетающего электрона с **внутриядерным током**. Ток  $\widehat{\vec{J}}(\vec{x})$  содержит три компонента: ток перемещения протонов внутри ядра  $\vec{J}_{Coul}$ , ток намагничения, создаваемый за счет изменения направлений магнитных моментов нуклонов  $\vec{J}_{magn}$  и  $\vec{J}_{MEC}$  – ток, создаваемый мезонами в процессе обменного

взаимодействия нуклонов ядра (МЕС = Meson Exchange Currents):

$$\vec{J}(\vec{x}) = \vec{J}_{Coul} + \vec{J}_{magn} + \vec{J}_{MEC} \quad (2.39)$$

Диаграммы, соответствующие главным вкладам мезонных обменных токов в картину взаимодействия виртуального либо реального кванта с нуклонами, показаны на рис. 2.2

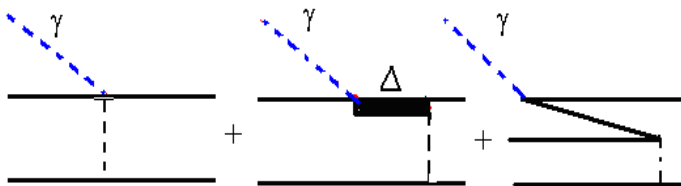


Рис.2.2. Мезонные обменные токи

Мультипольные формфакторы  $F_{EJ}$  и  $F_{MJ}$  не интерферируют между собой, поскольку генерирующие их мультипольные операторы имеют противоположные четности:  $(-1)^J$  для  $F_{EJ}^2$  и  $(-1)^{J-1}$  для  $F_{MJ}^2$ .

Операторы в формулах (2.37-2.38) действуют не только в конфигурационном, но и в изоспиновом пространстве, являясь в последнем суммой изоскаляра и изовектора. С учетом приведения по изоспину  $T$  выражение для мультипольных формфакторов принимает вид (теорема Вигнера-Экарта):

$$F_{KJ}^2 = (2J_i + 1)^{-1} (2T_f + 1)^{-1} \left| \left\langle T_i M_{T_i} T_0 \left| T_f M_{T_f} \right. \right\rangle \right|^2 \left| \left\langle J_f T_f \left\| \sum_{\mathcal{T}} \hat{O}_{\mathcal{T}} \left\| J_i T_i \right. \right. \right\rangle \right|^2 \quad (2.40)$$

Поскольку формфакторы зависят от  $q$  и  $\omega$ , но не от угла рассеяния  $\theta$ , построение графика зависимости сечения от  $tg^2 \theta/2$  при фиксированных  $q, \omega$  (метод Розенблюта) позволяет разделить вклады продольного и

поперечного формфакторов в инклюзивное сечение  $(e, e')$ .

Другим методом разделения формфакторов является измерение сечений при угле  $\theta=180^\circ$ , когда вклад продольного формфактора равен нулю. В этом случае сечение содержит только поперечный формфактор:

$$\frac{d\sigma(e, e')}{d\Omega} \Big|_{\theta=180} = \frac{\pi\alpha^2}{\varepsilon_1^2} \left(1 + \frac{2\varepsilon_1}{M_T}\right)^{-1} F_T^2(q, \omega) \quad (2.41)$$

В приближении точечных нуклонов матричные элементы мультипольных операторов являются линейными комбинациями одночастичных операторов, построенных из операторов спина  $\hat{\sigma}$ , углового момента  $\hat{V}$  и сферических функций  $Y_{JM}$ :

$$\widehat{M}_{JM}^{coul} = \sum_{i=1}^A \widehat{e}_i j_J(qr_i) Y_{JM}(\Omega_i); \quad (2.42)$$

$$\begin{aligned} \widehat{T}_{JM}^{el} = & \frac{q}{2M} \sum_{i=1}^A \{ \widehat{\mu}_i j_J(qr_j) [Y_J(\Omega_j) \times \hat{\sigma}_j]^{JM} + \\ & + \frac{2\widehat{e}_i}{q} \left( \sqrt{\frac{J+1}{2J+1}} j_{J-1}(qr_j) [Y_{J-1}(\Omega_j) \times \widehat{V}_j]^{JM} - \right. \\ & \left. - \sqrt{\frac{J}{2J+1}} j_{J+1}(qr_j) [Y_{J+1}(\Omega_j) \times \widehat{V}_j]^{JM} \right) \} \end{aligned} \quad (2.43)$$

$$\begin{aligned}
\widehat{T}_{JM}^{mag} = & \frac{iq}{2M} \sum_{i=1}^A \{ \widehat{\mu}_i \left( \sqrt{\frac{J+1}{2J+1}} j_{J-1}(qr_i) [Y_{J-1}(\Omega_i) \times \widehat{\sigma}_i]^{JM} - \right. \\
& - \sqrt{\frac{J}{2J+1}} j_{J+1}(qr_i) [Y_{J+1}(\Omega_i) \times \widehat{\sigma}_i]^{JM} ) - \\
& \left. - \frac{2\widehat{e}_i}{q} \left( j_J(qr_i) [Y_J(\Omega_i) \times \widehat{\nabla}_i]^{JM} \right) \}
\end{aligned} \tag{2.44}$$

Здесь  $M$  – масса нуклона,  $\widehat{e}_i, \widehat{\mu}_i$  – операторы заряда и магнитного момента в пространстве изоспина:

$$\widehat{e}_j = e_0 + e_1 \widehat{\tau}_{3j} = \frac{1}{2} (I + \widehat{\tau}_{3j}) \tag{2.45}$$

$$\widehat{\mu}_i = \mu_0 + \mu_1 \widehat{\tau}_{3i} = \frac{\mu_p + \mu_n}{2} I + \frac{\mu_p - \mu_n}{2} \widehat{\tau}_{3i} \tag{2.46}$$

$\mu_p = 2.793$ ,  $\mu_n = -1.913$ , – магнитные моменты протона и нейтрона в ядерных магнетонах.

В формулах (2.42-2.44) операторы, содержащие  $\widehat{\mu}_i$ , соответствуют учету взаимодействия электрона с ядерным током намагничения (т.е. спиновым током); операторы, содержащие  $\widehat{e}_j$  отражают взаимодействие электрона с ядерными зарядами и кулоновским (конвекционным) током.

Использование формул (2.42-2.44) для приближения точечных нуклонов некорректно в области высоких энергий электронов, когда конечные размеры нуклонов влияют на результат рассеяния. Поэтому в формулы для эффективного сечения рассеяния (2.30-2.31) вводят дополнительный множитель – формфактор конечных размеров нуклона

$$f_{SN} = \left(1 + q^2/q_N^2\right)^{-1}, q_N \approx 855 \text{ MeV}; \quad (2.47)$$

Поскольку в качестве волновых функций начального и конечного состояний ядра, как правило, используют волновые функции модели оболочек, полученные в потенциале трехмерного гармонического осциллятора (ВФГО), зависящие от  $3A$  пространственных переменных, в правую часть формулы (2.9) также необходимо ввести поправку  $f_{CM}$ , связанную с движением центра масс ядра в приближении волновых функций ВФГО:

$$f_{CM}(q) = \exp\left(\frac{1}{A}\left(\frac{qb}{2}\right)^2\right), \quad (2.48)$$

где  $b$  – осцилляторный параметр.

Изложенный выше формализм расчета мультипольных формфакторов построен в так называемом борновском приближении с плоскими волнам (PWBA), и поэтому не учитывает эффекта искажения электронных волн в кулоновском поле ядра. Чем больше заряд ядра-мишени, тем сильнее искажается электронная волна в поле ядра. При расчетах сечений необходимо учесть и этот эффект искажения. Однако для легких ядер с небольшим  $Z$  искажения невелики, и их можно приближенно учесть, сравнивая результаты расчета в PWBA с экспериментальными точками, сдвинутыми вверх по оси  $q$  и являющимися, таким образом, функцией  $q_{eff}$ , который связан с  $q$  соотношением

$$q_{eff} = q\left(1 + f(q)\left(\frac{Ze^2}{2E_1 R}\right)\right), \quad (2.49)$$

где  $E_1$  – энергия падающего электрона,  $R$  – радиус сферы, эквивалентной ядру-мишени,  $f(q)$  – эмпирически подбираемая функция переданного импульса  $q$ . (Как

правило, экспериментальные результаты приводятся с этой поправкой).

При небольших энергиях первичного пучка и малых углах рассеяния, когда  $q \approx \omega$ , эксперименты по  $(e, e')$ -рассеянию содержат практически ту же информацию, что и фотоядерные реакции. Для фотоядерных реакций  $q_\mu^2 = 0$ , и сечение поглощения реального фотона с энергией  $\omega$  связано только с поперечным формфактором в точке  $q = \omega$  (т.н. «фототочке» = «photopoint»)

$$\int \sigma_\gamma(\omega) d\omega = \frac{8\pi^2 \alpha}{\omega} F_T^2(q = \omega), \quad (2.50)$$

где  $\int \sigma_\gamma(\omega) d\omega$  – сечение поглощения, проинтегрированное по резонансу.

Анализ формул (2.42-2.44) показывает, что относительный вклад спиновых мод  $j_L(qr)[Y_L \times \hat{\sigma}]_{JM}$  в электрические и магнитные формфакторы растет при увеличении  $q$ .

В длинноволновом пределе ( $q \rightarrow 0$ ) имеет место подобие  $q$ -зависимостей продольного и поперечного электрических формфакторов (**теорема Зигерта**):

$$F_{EJ}|_{q \rightarrow 0} = \frac{\omega}{q} \left( \frac{J+1}{J} \right)^{1/2} F_{CJ} \quad (2.51)$$

Из теоремы Зигерта следует, что при малых переданных ядру импульсах основной вклад в формирование ядерного отклика на внешнее возбуждение дает взаимодействие с орбитальным током. При более высоких  $q$ , когда в возбуждении  $EJ$ -мультиполей значительную роль начинают играть спиновые моды, поведение  $CJ$ - и  $EJ$ -формфакторов становится существенно различным.



Операторы  $\widehat{M}_{JM}^{Coul}, \widehat{T}_{JM}^{el}, \widehat{T}_{JM}^{mag}$ , действующие в пространстве волновых функций ядра, являются эрмитовыми операторами. В квантовой теории доказывается важное соотношение для приведенных по моменту и изоспину матричных элементов этих операторов:

$$\begin{aligned} \langle J_f T_f \left\| \widehat{O}_{J,T} \right\| J_i T_i \rangle &= (-1)^{T_f - T_i} \times (-1)^{J_f - J_i} \times \\ &\times (-1)^{J - \eta} \langle J_i T_i \left\| \widehat{O}_{J,T} \right\| J_f T_f \rangle \end{aligned} \quad (2.52)$$

В формуле (2.52)  $\eta = 0$  для кулоновского оператора  $\widehat{M}_{JM}^{Coul}$  и  $\eta = 1$  для операторов  $\widehat{T}_{JM}^{el}, \widehat{T}_{JM}^{mag}$ .

Для упругого рассеяния электронов на ядрах начальное и конечное состояния ядра совпадают:  $|f\rangle = |i\rangle, T_f = T_i, J_f = J_i$ . Поэтому для кулоновского упругого рассеяния, когда  $\eta = 0$ , выполнение условия (2.52) требует, чтобы

$$\langle J_i T_i \left\| \widehat{O}_{J,T} \right\| J_i T_i \rangle = (-1)^J \langle J_i T_i \left\| \widehat{O}_{J,T} \right\| J_i T_i \rangle \Rightarrow (-1)^J = 1$$

т.е. в зарядовом упругом рассеянии (продольный формфактор) участвуют только мультипольные операторы с четными значениями  $J$ . Для поперечных мультипольных формфакторов  $\eta = 1$  и  $(-1)^{J-\eta} = (-1)^{J-1} = 1$ . Поэтому из  $|f\rangle = |i\rangle$  следует, что в поперечный формфактор упругого рассеяния дают вклады только мультипольные операторы с нечетными значениями момента (ранга оператора). Это правило исключает электрические мультипольные формфакторы  $EJ$  – они не могут принимать участие в упругом рассеянии, т.к. при упругом рассеянии **не меняется** четность системы, а для  $EJ$  переходов она равна  $(-1)^J = (-1)$  для нечетных  $J$ .

Магнитные мультипольные формфакторы  $MJ$  с **нечетными** значениями  $J$  в упругом рассеянии могут

участвовать (см. таблицу). Вторая строка таблицы соответствует действующему оператору; третья – четности оператора.

$F_{CJ}$	$F_{EJ}$	$F_{MJ}$
$\widehat{M}_{JM}^{Coul}$	$\widehat{T}_{JM}^{el}$	$\widehat{T}_{JM}^{mag}$
$P = (-1)^J$	$P = (-1)^J$	$P = (-1)^{J+1}$
$(-1)^{J-\eta} = (-1)^J$	$(-1)^{J-\eta} = (-1)^{J-1}$	$(-1)^{J-\eta} = (-1)^{J-1}$
Возможно, $J = 2n$	Невозможно	Возможно, $J = 2n + 1$

### § 2.3 Расчет матричных элементов мультипольных операторов

$$\begin{aligned}
 \langle n'l'j' || j_J(qr) Y_J(\Omega) || nlj \rangle &= (-1)^{J+j+1/2} \frac{1}{\sqrt{4\pi}} \times \\
 &\times \sqrt{(2l'+1)(2l+1)(2j'+1)} \times \sqrt{(2j+1)(2J+1)} \times \\
 &\times \begin{Bmatrix} l' & j' & 1/2 \\ j & l & J \end{Bmatrix} \begin{Bmatrix} l' & J & l \\ 0 & 0 & 0 \end{Bmatrix} \langle n'l' | j_J(qr) | nl \rangle. \\
 \langle n'l'j' || j_L(qr) [Y_L \times \vec{\nabla}]^J || nlj \rangle &= (-1)^{l'+j-1/2} \frac{1}{\sqrt{4\pi}} \times \\
 &\times \sqrt{(2l'+1)(2l+1)(2j'+1)} \times \sqrt{(2j+1)(2J+1)(2L+1)} \times \\
 &\begin{Bmatrix} l' & j' & 1/2 \\ j & l & J \end{Bmatrix} \times (\widehat{D}_L^- + \widehat{D}_L^+),
 \end{aligned}$$

где

$$\widehat{D}_L^- = \left\{ \begin{matrix} L & 1 & J \\ l & l' & l+1 \end{matrix} \right\} \times \frac{\begin{pmatrix} l' & L & l+1 \\ 0 & 0 & 0 \\ l+1 & 1 & l \\ 0 & 0 & 0 \end{pmatrix}}{\begin{pmatrix} l+1 & 1 & l \\ 0 & 0 & 0 \end{pmatrix}} \times$$

$$\times \frac{l+1}{2l+1} \left\langle n'l' \left| j_L(qr) \left( \frac{d}{dr} - \frac{l}{r} \right) \right| nl \right\rangle;$$

$$\widehat{D}_L^+ = \left\{ \begin{matrix} L & 1 & J \\ l & l' & l-1 \end{matrix} \right\} \times \frac{\begin{pmatrix} l' & L & l-1 \\ 0 & 0 & 0 \\ l-1 & 1 & l \\ 0 & 0 & 0 \end{pmatrix}}{\begin{pmatrix} l-1 & 1 & l \\ 0 & 0 & 0 \end{pmatrix}} \times$$

$$\times \frac{l}{2l+1} \left\langle n'l' \left| j_L(qr) \left( \frac{d}{dr} + \frac{l+1}{r} \right) \right| nl \right\rangle.$$

$$\begin{aligned} \left\langle n'l'j' \left| j_J(qr) [Y_L \times \vec{\sigma}]^J \right| nlj \right\rangle &= (-1)^{l'} \frac{\sqrt{6}}{\sqrt{4\pi}} \times \\ &\times \sqrt{(2l'+1)(2l+1)(2j'+1)(2j+1)} \sqrt{(2J+1)(2L+1)} \times \\ &\times \begin{Bmatrix} l' & l & L \\ 1/2 & 1/2 & 1 \\ j' & j & J \end{Bmatrix} \begin{pmatrix} l' & L & l \\ 0 & 0 & 0 \end{pmatrix} \left\langle n'l' \left| j_J(qr) \right| nl \right\rangle. \end{aligned}$$

(2.53)

В вышеприведенных формулах

$$\langle n'l' | j_J(qr) | nl \rangle = \int_0^\infty R_{n'l'}(r) j_J(qr) R_{nl}(r) r^2 dr.$$

Если используются волновые функции гармонического осциллятора (ВФГО), то

$$\langle l'l' | j_L(qr) | ll \rangle = \frac{2^{L/2}}{(2L+1)!!} y^{L/2} \exp(-y) \frac{(l'+l+L+1)!!}{[(2l'+1)!!(2l+1)!!]^{1/2}} \times$$

$$\times F \left[ \frac{1}{2}(L-l'-l); L+3/2; y \right],$$

$$F(a, c, y) = 1 + \frac{a}{c} y + \frac{a(a+1)}{c(c+1)} \cdot \frac{y^2}{2!} + \dots$$

(2.53a)

Для волновых функций в потенциале трехмерного гармонического осциллятора (ВФГО) существуют следующие рекуррентные соотношения:

$$|2l\rangle = (l+3/2)^{1/2} |1l\rangle - (l+5/2)^{1/2} |1l+2\rangle,$$

$$|3l\rangle = \frac{1}{\sqrt{2}} \left\{ \begin{aligned} & [(l+5/2)(l+3/2)]^{1/2} |1l\rangle - 2(l+5/2) |1l+2\rangle + \\ & [(l+9/2)(l+7/2)]^{1/2} |1l+4\rangle \end{aligned} \right\}$$

$$\left( \frac{d}{dr} - \frac{l}{r} \right) |1l\rangle = -\frac{1}{b} (l+3/2)^{1/2} |1l+1\rangle;$$

$$\left( \frac{d}{dr} + \frac{l+1}{r} \right) |1l\rangle = \frac{1}{b} [2(2l+1)]^{1/2} |1l-1\rangle - \frac{1}{b} (l+3/2)^{1/2} |1l+1\rangle.$$

Здесь

$b = \sqrt{\hbar/\mu\omega}$  – параметр осцилляторной функции.

$$\langle l' | j_L(qr) | l \rangle = \frac{2^{L/2}}{(2l+1)!!} y^{L/2} \exp(-y) \times \\ \times \frac{(l'+l+L+1)!!}{[(2l'+1)!!(2l+1)!!]^{1/2}} \cdot F\left(\frac{1}{2}(L-l'-l); L+3/2; y\right),$$

причем гипергеометрическая функция  $F(a, b, y)$  представляет собой конечный ряд:

$$F(a, b, y) = 1 + \frac{a}{b} y + \frac{a}{b} \cdot \frac{a+1}{b+1} \cdot \frac{y^2}{2!} + \dots$$

## § 2.4. Переходные плотности заряда и тока

Экспериментальное исследование формфакторов  $F_{CJ}, F_{EJ}, F_{MJ}$  при различных переданных ядру импульсах позволяет получить информацию о пространственном распределении матричных элементов заряда и тока мишени. Эта возможность является результатом связи между мультипольными формфакторами и распределениями плотностей заряда и тока через преобразование Фурье Бесселя:

$$F_{CJ}(q) = \left( \frac{1}{\sqrt{2J_i+1}} \right) \int_0^\infty \rho_J(r) j_J(qr) r^2 dr; \\ F_{EJ} = \left( \frac{1}{\sqrt{2J_i+1}} \right) \int_0^\infty \left[ \sqrt{\frac{J+1}{2J+1}} \cdot \rho_{J-1}(r) j_{J-1}(qr) - \sqrt{\frac{J}{2J+1}} \cdot \rho_{J+1}(r) j_{J+1}(qr) \right] r^2 dr; \\ F_{MJ} = \left( \frac{1}{\sqrt{2J_i+1}} \right) \int_0^\infty \rho_{JJ}(r) j_J(qr) r^2 dr. \quad (2.54)$$

Введенные в (2.54) величины  $\rho(\mathbf{r})$  называются **переходными плотностями** [3]. Они являются матричными элементами операторов заряда и тока между начальным и конечным состояниями мишени:

$$\begin{aligned} \rho_J(r) &= \int \langle J_f \alpha_f \| \hat{\rho}(r) Y_J(\Omega) \| J_i \alpha_i \rangle d\Omega, \\ \rho_{JJ'}(r) &= \int \langle J_f \alpha_f \| \hat{J}(r) Y_{JJ'}(\Omega) \| J_i \alpha_i \rangle d\Omega. \end{aligned} \quad (2.55)$$

$\hat{J}(r), \hat{\rho}(r)$ -операторы тока и заряда. Символом  $\alpha$  обозначены все квантовые числа данного состояния, кроме спина и его проекции. Формулы (2.55) соответствуют приближению однофононного обмена. Структура сечения рассеяния будет определяться переходными лотностями  $\hat{\rho}_J(r), \hat{\rho}_{J-1}(r), \hat{\rho}_{J+1}(r)$  для электрических переходов и переходной плотностью  $\hat{\rho}_{JJ}(r)$  для магнитных переходов. Из закона сохранения заряда (уравнения непрерывности) следует связь переходных плотностей

$$\omega \sqrt{2J+1} \hat{\rho}_J(r) = \sqrt{J} \left( \frac{d}{dr} - \frac{J-1}{r} \right) \hat{\rho}_{J-1}(r) - \sqrt{J+1} \left( \frac{d}{dr} - \frac{J+1}{r} \right) \hat{\rho}_{J+1}(r).$$

С помощью этого соотношения можно установить связь продольного и поперечного электрических формфакторов:

$$F_{EJ}(q) = -\frac{\omega}{q} \sqrt{\frac{J+1}{J}} F_{CJ}(q) - \sqrt{\frac{J+1}{2J+1}} \int_0^\infty \hat{\rho}_{JJ+1}(r) j_{J+1}(qr) r^2 dr.$$

Благодаря обратному преобразованию Фурье-Бесселя возможно определение переходных плотностей из формфакторов:

$$\begin{aligned} \hat{\rho}_J(r) &= \frac{2\sqrt{2J_i+1}}{\pi} \int_0^\infty F_{CJ}(q) j_J(qr) q^2 dq; \\ \hat{\rho}_{M+1}(r) &= -\frac{2\sqrt{J(2J_i+1)}}{\pi\sqrt{2J+1}} \int_0^\infty \left[ F_{EJ}(q) + \frac{\omega}{q} \sqrt{\frac{J+1}{J}} F_{CJ}(q) \right] j_{J+1}(qr) q^2 dq; \\ \hat{\rho}_M(r) &= \frac{2\sqrt{2J_i+1}}{\pi} \int_0^\infty F_{MJ}(q) j_J(qr) q^2 dq. \end{aligned} \tag{2.56}$$

Из (2.56) видно, что получение точных значений переходных плотностей требует измерений формфакторов вплоть до бесконечно высоких значений  $q$ , что нереально. На практике интегралы в (2.56) обрезают при высоких переданных импульсах, достигнутых в эксперименте. Поскольку формфакторы представляют собой очень быстро спадающие функции переданного импульса, возникающие погрешности сравнительно невелики.

### § 2.5. Эксклюзивные сечения рассеяния электронов

На сильноточных электронных ускорителях с высоким D-фактором возможно проведение эксклюзивных экспериментов. В инклюзивных экспериментах эффективное сечение рассеяния исследуется как функция характеристик рассеянного электрона – его энергии, угла рассеяния и переданного импульса. Инклюзивные сечения – это сечения рассеяния неполяризованного электрона на неполяризованной мишени.

Гораздо более богатая информация о свойствах мишени может быть получена из эксклюзивных экспериментов, поскольку в них сечение изучается как функция целого ряда переменных. Например, сечение рассеяния электрона на ядре может быть исследовано как

функция переданных энергии и импульса и, одновременно как функция кинематических характеристик вылетающего из возбужденного ядра нуклона или кластера. (Именно для таких экспериментов был сооружен зал А1 на ускорителе МАМІ – рис.1.4). К эксклюзивным экспериментам относятся все эксперименты по схемам совпадений и эксперименты на поляризованных мишенях или с поляризованными пучками электронов. Следствием увеличения числа измеряемых переменных является усложнение характеристик функций отклика ядра. Например, дифференциальное сечение рассеяния электрона на ядре  $(e, e' X)$  с фиксацией направления вылета частицы X имеет вид

$$\frac{d^2\sigma(e, e')}{d\Omega_e d\Omega_p} = \frac{4\pi\sigma_M}{\eta_R} \{v_L W_L + v_T W_T + v_{TT} W_{TT} \cos 2\Phi + v_{TL} W_{TL} \cos \Phi\}. \quad (2.57)$$

Здесь  $\Phi$  – угол между плоскостями векторов  $\{\vec{k}_1, \vec{k}_2\}, \{\vec{q}, \vec{p}\}$  (См. рис.2.4)

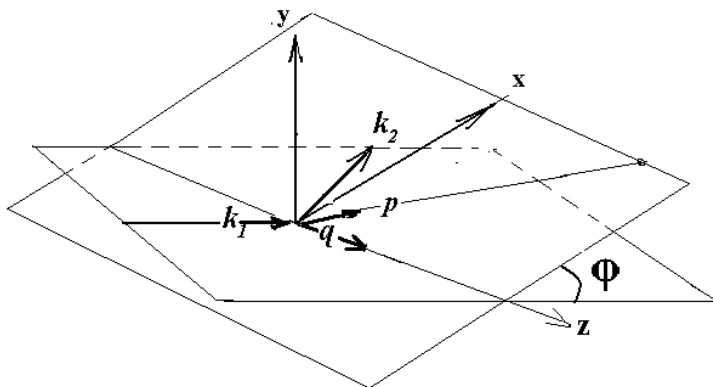
$$v_L = (q_\mu^2 / q^2)^2; v_T = \frac{1}{2} (q_\mu^2 / q^2) + tg^2 \frac{\theta}{2};$$

$$v_{TT} = -\frac{1}{2} (q_\mu^2 / q^2); v_{TL} = -\frac{1}{\sqrt{2}} (q_\mu^2 / q^2) \sqrt{(q_\mu^2 / q^2) + tg^2 \frac{\theta}{2}}.$$

В (2.57)  $W_L = F_L^2, W_T = F_T^2$ .

Физику эксклюзивного процесса определяют, помимо двух первых в формуле (2.57) еще два формфактора как функции структуры ядра :  $W_{TT}, W_{TL}$ . Таким образом, в случае совпадательных экспериментов сечение зависит не от 2, а от 4 структурных функций.





*Рис.2.4. Кинематика эксклюзивных совпадательных экспериментов.*

Эксперименты по схемам совпадений, например,  $^{40}\text{Ca}(e, e'x)$ ;  $x = p, \alpha$  позволяют избавиться от высокого радиационного фона экспериментов  $(e, e')$ , который затрудняет идентификацию мультипольности пиков электровозбуждения.